

## 고온선박엔진용 MoSi<sub>2</sub> 금속간화합물의 경도와 방전가공특성

윤한기 \* · 이상필 \*  
\* 동의대학교 기계 · 정보산업공학부

### Hardness and EDM Processing of MoSi<sub>2</sub> Intermetallics for High Temperature Ship Engine

HAN-KI YOON \* AND SANG-PILL LEE \*

\*Division of Mechanical and Information and Industry Engineering, Dongeui University, Busan, Korea

**KEY WORDS:** MoSi<sub>2</sub> Intermetallics MoSi<sub>2</sub> 금속간화합물, Nb/MoSi<sub>2</sub> Laminate Composite Nb/MoSi<sub>2</sub> 적층복합재료, Electrical Discharge Machine (EDM) 방전가공, ED-Drilling 방전에 의한 드릴링, Workability 가공성, Fabricating Temperature 성형온도, Micro Vickers Hardness 마이크로 비커스 경도

**ABSTRACT:** This paper describes the machining characteristics of the MoSi<sub>2</sub>-based composites through the process of electric discharge drilling with various tubular electrodes. In addition to hardness characteristics, microstructures of Nb/MoSi<sub>2</sub> laminate composites were evaluated from the variation of fabricating conditions, such as preparation temperature, applied pressure, and pressure holding time. MoSi<sub>2</sub>-based composites have been developed in new materials for jet engines of supersonic-speed airplanes and gas turbines for high-temperature generators. These high performance engines may require new hard materials with high strength and high temperature-resistance. Also, with the exception of grinding, traditional machining methods are not applicable to these new materials. Electric discharge machining (EDM) is a thermal process that utilizes a spark discharge to melt a conductive material. The tool electrode is almost non-unloaded, because there is no direct contact between the tool electrode and the work piece. By combining a non-conducting ceramic with more conducting ceramic, it was possible to raise the electrical conductivity. From experimental results, it was found that the lamination from Nb sheet and MoSi<sub>2</sub> powder was an excellent strategy to improve hardness characteristics of monolithic MoSi<sub>2</sub>. However, interfacial reaction products, like (Nb, Mo)SiO<sub>2</sub> and Nb<sub>2</sub>Si<sub>3</sub> formed at the interface of Nb/MoSi<sub>2</sub>, and increased with fabricating temperature. MoSi<sub>2</sub> composites, with which a hole drilling was not possible through the conventional machining process, enhanced the capacity of ED-drilling by adding NbSi<sub>2</sub>, relative to that of SiC or ZrO<sub>2</sub> reinforcements.

### 1. 서 론

차세대 선박 엔진용 부품, 고온 발전용 가스터빈 등의 개발에 따른 내열성, 내마모성, 내식성, 경량성이 뛰어난 신소재 개발에 관심의 초점이 모아지고 있다. 이와 관련된 연구는 니켈합금, 알루미늄 이드, 금속간화합물, 실리사이드, 금속간화합물, 실리콘 카바이드(silicon carbide) 등이 연구되고 있다(Stoloff and Alman, 1991; Yoon and Lee, 2001). 실리사이드 금속간화합물 중의 하나인 MoSi<sub>2</sub>는 높은 용융점(2303K)과 적당한 밀도(6.3g/cm<sup>3</sup>), 우수한 내산화성을 가지고 있어 고온, 고압의 환경에서 사용하기에 적합한 재료로 주목받고 있다. 그러나, MoSi<sub>2</sub>는 고온 크리프 강도와 내산화성은 우수하나 전 온도영역에서 취성거동을 나타내며, 기계 가공이 어려운 결점을 갖고 있어 전통적인 절삭가공방식으로는 이를 가공하는 것이 부적절하다. 따라서 이러한 고온 선박엔진용 세라믹스 복합재를 가공하기 위하여 레이저가공, 워터젯(water jet: WJ), 방전가공, 전해방전가공 및 초음파가공 등이 대체 가공법으로 제시되고 있다.

Yan 등은 동전극으로 카야바이드에 미세한 구멍을 방전가공 할

때 전극의 소모와 구멍의 크기, 방전분(debris) 등의 특성을 연구하였다.(Yan et al., 1999) Gadalla 등은 TiB<sub>2</sub>를 포함한 다양한 세라믹재료들에 대해서 와이어방전가공에 대한 연구를 수행하였는데, 알루미나에 TiC를 첨가시킴으로 전도성이 향상되게 하는 등 비전도체인 세라믹을 전도체인 세라믹과 결합시켜 전기저항율이 낮아지게 하였다(Gadalla et al., 1991). 그러나, MoSi<sub>2</sub>의 가공특성에 대한 연구는 아직 미비한 상태이다. 어떤 연구자들은 MoSi<sub>2</sub>의 실온취성거동을 개선하기 위해 세라믹과 금속 강화상과의 복합화를 행하고 있다. 그 중에서 Nb 강화상은 뛰어난 연성 및 MoSi<sub>2</sub>와 동급의 열팽창계수를 가지고 있어서 MoSi<sub>2</sub>의 상대재료로 아주 활발한 연구가 행해지고 있다(Venkateswara Rao et al., 1992; Alman and Stoloff, 1995). 또한, Nb 강화상은 고용점 실리사이드와 알루미늄이드 금속간화합물 같은 고온 취성재료의 인성증대에 대해서도 아주 효과가 있다고 보고되어 있다(Deve et al., 1990; Kajuch et al., 1995). Nb/MoSi<sub>2</sub>복합재료에 대한 연구는 국내외적으로 아직 연구되고 있지 않은 상태이며 소결밀도와 제조조건의 최적화 및 제조온도에 따른 계면반응층의 성장에 대한 기초 연구가 매우 중요하다. 특히, Nb판은 소성가공을 억제하므로 정확한 반응층의 특성평가는 매우 중요하다고 생각된다.

본 연구에서는 MoSi<sub>2</sub> 금속간화합물계 복합재료로서 Nb판과 MoSi<sub>2</sub>분말을 조합시켜 제조온도, 가압력, 가압유지시간을 변수로하여 핫프레스에 의한 제조실험을 행하여 제조조건이 Nb/MoSi<sub>2</sub> 적층복합재료의 소결밀도 및 계면 반응층의 성장에 미치는 영향을 검토하였다. 또한, 마이크로 비커스 경도기, 광학현미경 및 PMA를 사용하여 제조온도의 상승에 따라 변화하는 Nb/MoSi<sub>2</sub> 적층복합재료의 경도와 미세조직을 조사하였다. Nb와 다른 강화재를 넣어시킨 MoSi<sub>2</sub>계 복합재료의 판재를 동일 방법으로 제조한 후 구리파이프전극을 사용한 ED-Drilling 가공을 수행하여 Nb/MoSi<sub>2</sub> 적층복합재료의 방전가공특성을 조사하였다. 이연구 결과는 해양분야 차세대 선박엔진용 부품 세라믹스재의 개발과 가공기술에 기여할 것으로 생각된다.

## 2. 실험방법

### 2.1 재료

실험에 사용한 기지재로서는 평균입자직경 2.8 μm의 MoSi<sub>2</sub>분말(일본신금속(주) 제작 : MoSi<sub>2</sub>-F)을 사용하였다. MoSi<sub>2</sub>분말의 화학성분을 Table 1에 나타내었다. 강화판재는 순도 99.9%, 두께 0.2 mm의 Nb판을 사용하였고, 강화입자로는 평균 직경이 0.1 μm인 TiO<sub>2</sub> 분말, 3.5 μm인 NbSi<sub>2</sub> 분말, 3.0 μm인 SiC 분말을 사용하였다.

MoSi<sub>2</sub>와 Nb의 물성치를 Table 2에 나타내었다(Badrin-brayanan et al., 1996). Nb판재의 표면에 존재하는 산화마을 제거하기 위해 전해연마를 실시하였다. 전해연마액은 체적율로 황산농도 97% H<sub>2</sub>SO<sub>4</sub>) 90%, 불산(농도 46% HF) 10%의 혼합용액을 사용하였다. 플라스틱 바이커에 연마액을 넣어서 양극에는 20 mm × 85 mm로 절단한 Nb판을, 음극에는 스텐인레스판을 접속하였다. 전해연마는 전류 0.4 A(전압 약 14 V)로 유지해 3분간 처리하였고, 연마액의 온도상승을 방지하기 위해 연마는 빙수 탱크내에서 행하고, 용액은 상시교반을 행하였다. 전해연마 종료후, Nb판을 꺼내어 이온교환수로 세정하여 건조시켰다.

Table 1 Chemical composition of molybdenum disilicide powder (MoSi<sub>2</sub>). (mass %)

Mo	Si	C	O	Fe
63.67	35.80	0.05	0.42	0.06

Table 2 Physical and mechanical properties of MoSi<sub>2</sub> and Nb

Property	MoSi <sub>2</sub>	Nb
Crystal structure	bct	bcc
Density (Mg/m <sup>3</sup> )	6.23	8.57
Melting point (K)	2303	2688
Coefficient of thermal expansion, α(K-1) at 293 K at 1473 K	~6.8 × 10 <sup>-6</sup> ~10 × 10 <sup>-6</sup>	~7.3 × 10 <sup>-6</sup> ~9.6 × 10 <sup>-6</sup>
Young's modulus, E(GPa)	440	103
Tensile strength at 293 K(MPa)	325	170
Yield strength at 1473 K(MPa)	325	55
Elongation (%)	-	30
Brittle-ductile transition temperature(°C)	1000 ~ 1200	-100

### 2.2 제조방법

Nb/MoSi<sub>2</sub> 적층복합재료는 고온프레스장치(모델 P20VS R-16/20)을 사용하여 고전공에서 가압하는 고온프레스법에 의해 제조하였다.

Nb/MoSi<sub>2</sub> 적층복합재료는 Fig. 1과 같이 MoSi<sub>2</sub>와 4장의 Nb판을 조합시킨 예비성형체를 진공속에서 일정온도로 가열한 후 가압하여 제작하였다. Table 3과 Fig. 2는 Nb/MoSi<sub>2</sub> 적층복합재료의 고온프레스 제조조건과 도식도를 나타내고 있다. 또한, MoSi<sub>2</sub> 분말에 ZrO<sub>2</sub>, SiC, NbSi<sub>2</sub> 분말을 체적율로 20vol% 첨가한 MoSi<sub>2</sub> 금속간화합물계 복합재료를 온도 1623K, 가압력 30MPa, 가압시간 3.6ks의 조건으로 고온프레스법으로 제조하였다.

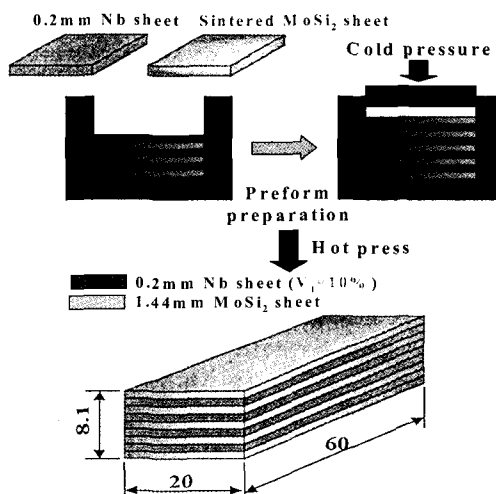


Fig. 1 Fabricating process of Nb/MoSi<sub>2</sub> laminate composites

Table 3 Fabricating conditions of Nb/MoSi<sub>2</sub> laminate composites by hot pressing

Volume fraction of Nb sheet (%)	10
Fabricating temperature (Maximum) (K)	1473, 1523, 1573, 1623, 1773
Fabricating pressure (Mpa)	30
Fabricating time (ks)	3.6
Vacuum pressure (Pa)	1.33 X 10 <sup>-2</sup>

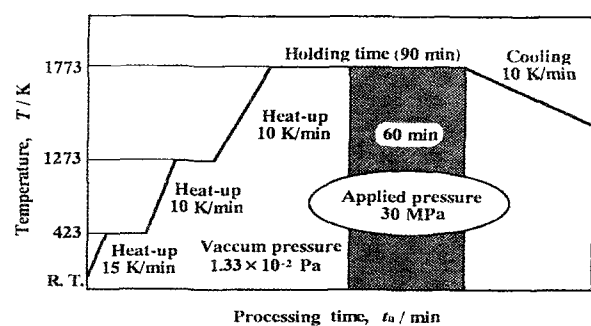


Fig. 2 Schematic diagram of hot press processing for the preparation of Nb/MoSi<sub>2</sub> laminate composites

### 2.3 미세조직 분석

고온프레스법으로 제작한 Nb/MoSi<sub>2</sub> 적층복합재료의 계면조직은 파장분석형 X선 분광분석기(WDS)가 내장되어 있는 EPMA(Electron probe micro analyzer, 모델 JXA- 8900)를 사용하여 분석하였다. Nb와 MoSi<sub>2</sub>의 계면반응층의 두께는 WDS의 선분석에 의해 정성분석을 행하고, Nb의 성분감소법으로서 결정하였다. 또, 계면반응층의 성분은 WDS의 점분석에 따라 반정량 분석을 행하였다. 분석에 사용한 시료는 표면을 #100에서 #1500 까지 연마하여 Al<sub>2</sub>O<sub>3</sub> 분말로 polishing을 실시하였다. 또한 Nb/MoSi<sub>2</sub> 적층복합재료를 구성하는 공시재의 미세조직을 광학현미경(모델 PMG-3)으로 관찰하여 제조온도에 따른 입계성장의 변화를 관찰하였다. Nb판의 입계성장은 고온프레스로 뜨임한 시료를 사용해서 관찰하였다.

### 2.4 경도시험

MoSi<sub>2</sub> 금속간화합물계 복합재료의 계면반응층 및 각 구성재료에 대해 마이크로 비커스 경도시험기(MVK-G2)를 사용하여 측정하였다. 시료는 #1500 까지 연마를 한 후 Al<sub>2</sub>O<sub>3</sub>분말로 polishing 하였고, 측정조건은 550배율로 하중100g(9.8N), 가압시간 5초로 하였다. 9점을 측정한 것들 중에서 최대치 및 최소치를 뺀 나머지의 7점의 평균치를 재료의 경도로 하였다.

### 2.5 가공성 평가

방전에 의한 드릴링(Electrical Discharge-Drilling)가공은 종래의 기계가공으로는 곤란한 미세하고 긴 구멍을 방전현상을 이용하여 고속으로 구멍을 가공하는 것으로 ED-Drilling은 구멍직경  $\phi$  0.1 - 4.0 mm의 가공이 가능하다. 전극이 안내되는 이송거리 250mm, 최대 가공전류 30 A, 테이블의 이송거리는 300X200mm 인 서혈방전가공기(ED-1M)을 사용하였다. Table 4는 MoSi<sub>2</sub>계 복합재료의 ED-Drilling 조건을 나타내었다. Fig. 3과 같이 동합금재의 파이프 전극(외경  $\phi$  0.1~4.0mm)을 저속으로 회전함과 동시에 세라믹으로 된 전극아이드를 따라 아래로 이송시키면서 방전시 발생한 고열에 의해 금속을 용융 가공하는 것이다. 전극 안으로 분사되는 방전액은 방전가공유 혹은 증류수에 흐연분말이 섞인 특수가공액으로서 방전가공분(debris)을 제거하며 전극과 공작물의 냉각작용을 한다.

Table 4 ED-Drilling Condition for MoSi<sub>2</sub> based composites

Machining condition	12	
Servo voltage	4	
Condenser	C5	
Electrode	core	$\phi$ 1.0 Cu
	plating	5 $\mu$ m thickness Cu
Dielectric		Oil for EDM
Workpiece plate	material	MoSi <sub>2</sub> MoSi <sub>2</sub> -SiC MoSi <sub>2</sub> -ZrO <sub>2</sub> MoSi <sub>2</sub> -NbSi <sub>2</sub> Nb/MoSi <sub>2</sub> -ZrO <sub>2</sub>
	dimension (W×T×L)	20×2×80 (mm)

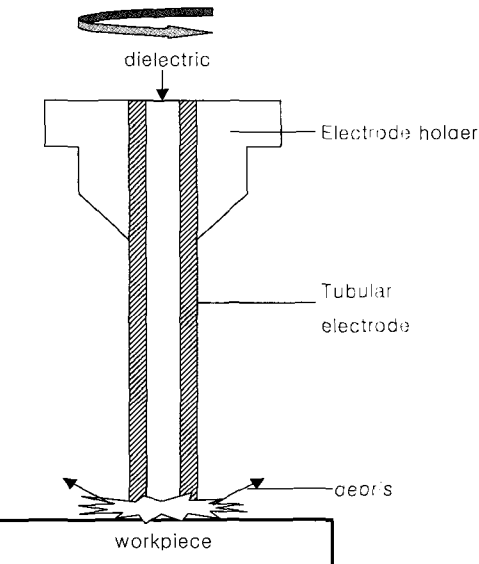


Fig. 3 Schematic diagram for ED-drilling process

ED-Drilling가공은 와이어방전가공의 개시구멍(start hole), 터어빈 블레이드 등의 항공기부품의 냉각구멍, 플라스틱 금형의 공기취출 핀 (air bleeding pin)과 이젝터 핀, 타이어 금형 및 신발금형의 공기구멍, 초경합금 등 낸사재의 구멍가공, 시계부품 등 긴 구멍을 가공하는 건 드릴링(gun drilling)의 대체 가공으로 응용되고 있다. 방전가공에 필요한 전기전도율은 100-15 S/cm 이상으로서 복합재 중에서도 부도체인 폴리머기지 복합재(polymer-matrix composite)는 방전가공에 부적합하므로 금속 필러(Cu, Al, Ag 분말 등)를 침투시키면 전도체가 될 수 있다. 특별히 복잡한 형상의 고정밀도가 요구되는 금속기지 복합재(Metal Matrix Composite: MMC)가 방전가공에 이상적인 재료이며, 세라믹기지 복합재 중에는 전도체인 일부 재료만이 방전가공이 가능하다. 질화실리콘 기지의 복합재는 TiN를, 알루미나 기지 복합재는 TiC를 첨가하여 전기적인 도체로 만들 수 있다.(김창호와 윤한기, 2000).

전극은 구리 파이프 전극을 사용하여 MoSi<sub>2</sub> 및 MoSi<sub>2</sub>에 SiC, ZrO<sub>2</sub>, NbSi<sub>2</sub> 등의 강화재를 첨가시킨 복합재의 판재를 ED-Drilling하였을 때 강화재의 종류가 방전가공속도에 미치는 영향을 비교하였다. 또 방전가공후의 구멍을 절단하여 입구축과 출구축의 구멍의 크기와 경사각, 표면특성 등을 광학현미경 및 주사식 전자현미경 (Hitachi S-800)으로 분석하여 MoSi<sub>2</sub> 금속간화합물계 복합재료의 가공성에 대해 평가하였다. 방전드릴이 끝난 표면을 #100에서 #1500의 사포로 연마한 뒤 0.5  $\mu$ m의 Al<sub>2</sub>O<sub>3</sub>분말로 polishing을 실시하였다.

## 3. 실험결과 및 고찰

### 3.1 미세조직

#### 3.1.1 MoSi<sub>2</sub> 소결체와 Nb 판의 조직

Fig. 4는 1523K와 1773K의 온도에서 고온-프레스법으로 소결한 MoSi<sub>2</sub> 단체의 미세조직을 관찰한 것이다. 가압력과 가압유지시간은 각각, 30MPa, 3.6ks이다. 제조온도의 상승에 따라,

1 73K에서 소결한 MoSi<sub>2</sub>단체에서 나타난 공극(흑색상)은 현저  
2 감소되며, 치밀한 조직을 형성한다. 이에따라 1523K 온도에  
3 제작한 MoSi<sub>2</sub>단체의 소결밀도는 약 79%인것에 비해 1773K  
4 온도에서는 약 94%를 나타내었다.

Fig. 5는 뜨임한 Nb판의 결정립을 관찰한 것이다. 뜨임온도  
는 1473K와 1623K이다. 뜨임온도 1623K쪽 Nb판의 결정립이  
간크다.

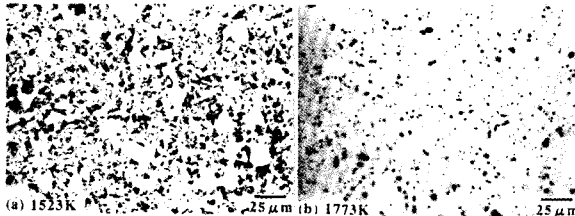


Fig. 4 Optical microscope images of monolithic MoSi<sub>2</sub> materials sintered at different temperatures (a) 1623K, (b) 1773K



Fig. 5 Optical microscope images of Nb sheet after tempered at different temperatures (a) 1473K, (b) 1623K

### 3.2 비커스 경도 특성

Fig. 7은 1773K, 30MPa, 3.6ks의 제조조건으로 제작한  
Nb/MoSi<sub>2</sub>적층복합재료의 계면반응층에 대한 경도시험결과이  
다. 비교를 위해 그림에서는 동일조건으로 제작한 MoSi<sub>2</sub>단체의  
경도를 나타내었다. Nb와 MoSi<sub>2</sub>와의 계면에서 형성된 (Nb,  
Mo)Si<sub>2</sub>상과 Nb<sub>5</sub>Si<sub>3</sub>와의 경도는 각각 HV1247과 HV1421을 나타  
나며, MoSi<sub>2</sub>단체의 경도(HV1160)에 비해 확연히 높다. 이와 같  
이, 계면반응층은 매트릭스보다 단단하며, 경도시험에서 취약  
성을 확인하였다. 그리고, 탄성계수가 높을 것으로 예상된다  
(기상필과 윤한기, 1999a, 1999b).

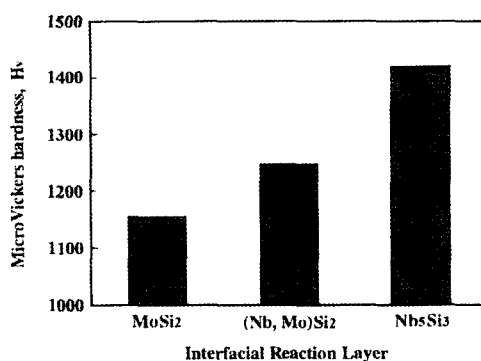


Fig. 7 Micro Vickers hardness of interfacial reaction layers in Nb/MoSi<sub>2</sub> laminate composites fabricated at 1773K under 30MPa and 3.6ks

### 3.3 방전가공 특성

#### 3.3.1 표면특성

Fig. 8과 Fig. 9는 Cu 파이프전극으로 MoSi<sub>2</sub>판재를 ED-Drilling가공을 실시한 구멍을 나타낸 것이다. Fig. 9는 Fig. 8의 단면이다. Fig. 9(b)는 (a)를 확대한 것으로 구멍의 표면에서부터 모재의 안쪽으로 방전에 의한 심한 균열이 발생하였음을 볼 수 있다. Fig. 9(a)는 Fig. 8의 MoSi<sub>2</sub>판재의 구멍을 중앙에서 수직으로 절단한 단면이며 Fig. 9(b)는 Fig. 9(a)의 일부를 확대한 것이다. Fig. 9의 (a)와 같이 입구쪽이 출구쪽 보다 크고 경사진 구멍이 만들어진 것은 전극의 외벽을 따라 분사되는 방전액에 의해 방전액 속의 가공분이 공작물과 전극의 측면에서 접촉하여 발생한 2차방전에 의한 것과 방전의 진행과 더불어 그 끝과 측면이 마모로 인하여 작아진 전극에 의해 방전이 진행되었기 때문이라고 생각되며, 그 경사각은 5.62°였다. Fig. 9(b)는 (a)를 300배 확대한 것으로 방전에 의해 용융된 금속의 일부가 표면에 재옹고된 것을 볼 수 있다. 이 층은 기계적 성질이 모재보다 떨어지므로 lapping이나 polishing에 의해 제거하는 것이 좋을 것으로 사료된다.

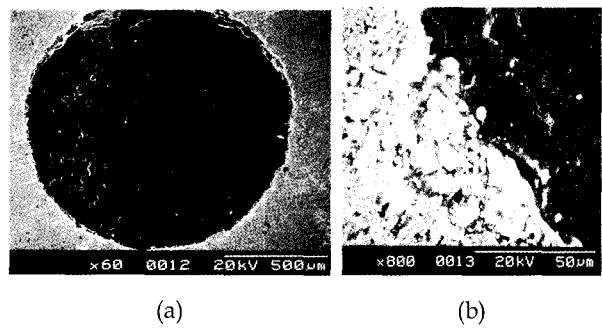


Fig. 8 ED-drilled hole (SEM by (a) X 60 and (b) X 300)

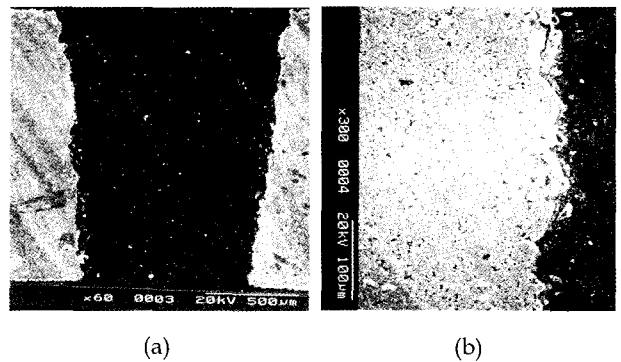


Fig. 9 Cross-section of ED-drilled hole (SEM by (a) X 60 and (b) X 300)

#### 3.3.2 방전가공속도의 영향

Fig. 10은 Cu도금된 동 파이프 전극으로 ED-drilling 가공한  
MoSi<sub>2</sub> 금속간화합물계 복합재료의 가공속도(mm/min)를 나타낸  
것이다. 가공속도는 MoSi<sub>2</sub>-NbSi<sub>2</sub>, MoSi<sub>2</sub>-SiC, MoSi<sub>2</sub>-ZrO<sub>2</sub>,  
MoSi<sub>2</sub>, Nb/MoSi<sub>2</sub>-ZrO<sub>2</sub> 순으로 나타났다. MoSi<sub>2</sub>-NbSi<sub>2</sub>의 가공속  
도가 빠른 것은 MoSi<sub>2</sub>-NbSi<sub>2</sub>내에 다른 재료에 비해 용융점(138  
2°C)이 낮은 Si가 많이 포함되었기 때문에 나타난 결과로 생각  
된다.

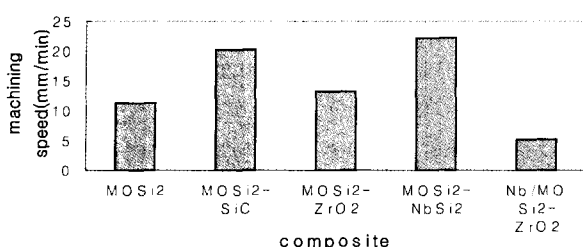


Fig. 10 Machining speed of composites

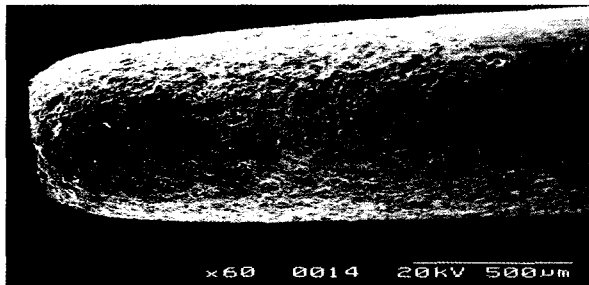


Fig. 11 Tubular electrode after ED-drilling

Fig. 11은 5회 방전가공 후의 전극을 나타낸 것이다. 방전시 발생한 고열에 의해 측면이 경사지게 마모되었으며 특히 끝이 심하게 마모된 것은 구멍의 드릴링에 있어서 공작물에 수직으로 닿는 전극의 맨 끝에서 스파크가 주로 발생하기 때문이라고 생각된다.

#### 4. 결 론

Nb판과 MoSi<sub>2</sub>분말을 조합하고, 제조온도를 파라미터로하여 진공 고온프레스법으로 적층복합재료를 제작하여 소결밀도, 계면반응층, 마이크로 비커스 경도를 평가하였다. 또한, MoSi<sub>2</sub>-ZrO<sub>2</sub>, MoSi<sub>2</sub>-SiC, MoSi<sub>2</sub>-NbSi<sub>2</sub> 복합재료를 고온프레스법으로 제조하여 ED-drilling 가공성을 검사하였다. 이들 결과에서 얻은 결론은 다음과 같다.

- (1) Nb/MoSi<sub>2</sub>적층복합재료의 소결밀도는 일정한 압력과 유지시간에서 제조온도가 상승함에 따라 증가하여 온도 1773K, 기압력 30MPa, 가압유지시간은 3.6ks의 제조조건에서 94%의 소결밀도를 나타내었다.
- (2) Nb/MoSi<sub>2</sub> 적층복합재료의 계면영역에서는 Nb쪽으로 확산하는 Mo와 Si의 원소에 의해 (Nb, Mo)Si<sub>2</sub>상과 Nb<sub>3</sub>Si<sub>3</sub>상이 생기는 것을 알았다. 또, 적층복합재료의 제조온도 상승에 따라 계면반응층은 크게 성장하였다. 반응층의 성장은 Mo보다 빨리 Nb쪽으로 확산되는 Si의 양에 지배된다고 생각할 수 있다.
- (3) Nb/MoSi<sub>2</sub>적층복합재료의 제조온도 상승에 의해, MoSi<sub>2</sub>판의 경도는 증가하지만, Nb판의 경도는 거의 동일한 정도(Hv150)를 나타내었다. 또, 계면반응층의 경도는 동일조건에서 제작된 MoSi<sub>2</sub>판에 비해 높고, Nb판 부근에 Nb<sub>3</sub>Si<sub>3</sub>상의 경도가 (Nb, Mo)Si<sub>2</sub>상보다 높게 됨을 알았다.
- (4) 전통적 절삭가공으로 구멍가공이 불가능하던 고온선박엔진용 MoSi<sub>2</sub> 금속간화합물에 NbSi<sub>2</sub>를 첨가한 복합재인 경우 ED-Drilling 가공속도가 증가한다는 것을 알았다.

#### 후 기

본 연구는 동의대학교 BK21사업단의 지원에 의해 수행된 연구로서 관계자에게 감사드립니다.

#### 참 고 문 헌

- 김창호, 윤한기 (2000). "MoSi<sub>2</sub>기지 복합재료의 ED-drilling", 한국정밀공학회, 춘계학술대회논문집, pp 886-889.
- 이상필, 윤한기 (1999a). "Nb/MoSi<sub>2</sub> 적층복합재료의 경도특성에 미치는 제조온도의 영향", 한국해양공학회지, 제13권, 제4호, pp 37-44.
- 이상필, 윤한기 (1999b). "Nb/MoSi<sub>2</sub> 적층복합재료의 제조온도에 의한 경도특성 평가", 한국해양공학회 춘계학술대회 강연논문집, pp 220-225.
- Alman, D.E. and Stoloff, N.S. (1995). "The effect of niobium morphology on the fracture behavior of MoSi<sub>2</sub>/Nb composites", Metall. Mater. Trans., Vol 26A, pp 289-303.
- Badrinarayanan, K., McKelvey, A.L., Venkateswara Rao, K.T. and Ritchie, R.O. (1996). "Fracture and fatigue crack growth behavior in ductile-phase toughening molybdenum disilicide: effect of niobium wire vs particulate reinforcements", Metall. Mater. Trans., Vol 27A, pp 3781-3793.
- Deve, H.E., Evans, A.G., Odette, G.R., Mehrabian, R., Emiliani, M.L. and Hecht, R.J. (1990). "Ductile reinforcement toughening of  $\gamma$ -TiAl: effects of debonding and ductility", Acta Metall. Mater., Vol 38, pp 1491-1502.
- Yoon H.K. and Lee S.P. (2001). "Bending strength characteristic of Al<sub>18</sub>B<sub>4</sub>O<sub>3</sub>W/AC4CH composites by heat treatment", Int. J. of KCORE, Vol 4, No 2, pp 31-35.
- Gadalla, A.M., Bozkurt, B. and Faulk, N.M. (1991). "Modelling of Thermal Spalling during EDM of Titanium Diboride", J. American Ceramic Society, Vol 74, No 4, pp 801-806.
- Kajuch, J., Short, J. and Lewandowski, J.J. (1995). "Deformation and fracture behavior of Nb in Nb<sub>5</sub>Si<sub>3</sub>/Nb laminates and its effect on laminate toughness", Acta Metall. Mater., Vol 43, pp 1955-1967.
- Stoloff, N.S. and Alman, D.E. (1991). "Powder processing of intermetallic alloys and intermetallic matrix composite", Mater. Sci. Eng., A144, pp 51-62.
- Venkateswara Rao, K.T., Soboyejo, W.O. and Ritchie, R.O. (1992). "Ductile-phase toughening and fatigue-crack growth in Nb-reinforcement molybdenum disilicide intermetallic composite", Metall. Mater. Trans., Vol 23A, pp 2249-2257.
- Yan, B.H., Huang, F.Y., Chow, H.M. and Tsai, J.Y. (1999). "Micro-hole machining of carbide by EDM", Journal of Materials Processing Technology, Vol 87, pp 139-145.